

СЕРГАЧИНСКАЯ ЗОЛОТОРУДНАЯ ЗОНА И ПЕРСПЕКТИВЫ ВЫЯВЛЕНИЯ НОВЫХ МЕСТОРОЖДЕНИЙ ЗОЛОТА

Приведены материалы крупномасштабных геолого-геофизических (1:50 000–1:5000) исследований АО «Дальгеофизика» и других организаций (1975–2017 гг.) в пределах Сергачинской золоторудной зоны и входящих в неё Уркинского рудного узла и Березитового рудного района. На их основании определены перспективы выявления новых рудопроявлений и, возможно, месторождений в этом районе и даны рекомендации по дальнейшему проведению поисковых и разведочных работ.

Ключевые слова: Сергачинская золоторудная зона, Уркинский рудный узел, Березитовое, Снежинка, золоторудные месторождения.

Сергачинская рудоносная зона выделена при геолого-съёмочных работах (м-б 1:50 000) в 60-х годах прошлого столетия, но глубинное строение и металлогения её не рассматривались. В 1978–1985 гг. в Березитовом золоторудном районе (центральная часть зоны) АО «Дальгеофизика» были проведены геолого-геофизические работы (магниторазведка, электроразведка ЕП, ВП, ВЭЗВП, металлометрия, геологические маршруты, каналы) м-бов 1:25 000 и 1:10 000. В 2001–2004 и 2011–2017 гг. АО «Дальгеофизика» продолжила геолого-геофизические работы (ВП, МКПВП, металлометрия, проходка каналов и скважин) м-ба 1:2000 на участках Снежинка, Светлый, Глубокий в юго-западной части зоны. Применяемая методика геологических, геофизических и геохимических исследований была стандартной, соответствующей действующим инструкциям. В результате последних работ, в которых участвовали авторы, составлено ТЭО временных кондиций с подсчётом запасов золота и серебра кат. С₂ по месторождению Снежинка.

Настоящая статья посвящена изучению глубинного строения Сергачинской рудоносной зоны по данным геолого-геофизических исследований (магниторазведка ΔT , гравиразведка Δg в м-бе 1:200 000, ГСЗ, МОВЗ по отдельным профилям) и оценке её перспективности (методы ВП, ВЭЗВП, МКПВП, металлометрического опробования в м-бах 1:25 000–1:2000, проходка каналов и скважин, бороздовое и керновое опробование) на выявление новых месторождений. Установлено, что Сергачинская рудоносная зона, имеющая северо-восточное простирание, ответвляется от Монголо-Охотского подвижного пояса при резком его изгибе в пределах Гонжинского выступа метаморфических пород фундамента. В исследуемом районе сегмент пояса сужается и далее на восток широко раскрывается, приобретая клиновидное очертание. Здесь граница Монголо-Охотского пояса контрастно выделяется в гравитационном поле цепочкой линейно вытянутых отрицательных аномалий Δg , ограниченных с севера Северо-Тукурингским и с юга Южно-Тукурингским глубинными разломами. Тукурингская



**Копылов
Михаил Иннокентьевич**

доктор геолого-минералогических наук
старший научный сотрудник
Kopylov@geophdv.ru

**Петухова
Людмила Леонидовна**

кандидат геолого-минералогических наук
научный сотрудник
Ludmila.pet@mail.ru

ФГБУН Институт тектоники и геофизики
им. Ю.А.Косыгина ДВО РАН,
г. Хабаровск



зона глубинных разломов, вероятно, сформировалась в результате коллизии Евразийской и Амурской литосферных плит. Согласно плитно-тектонической модели, складчатые структуры Монголо-Охотской системы являются реликтами обширного океанического пространства, закрывшегося при столкновении южной окраины Сибирского континента и ансамбля крупных террейнов (Аргунский, Гонжинский, Мамынский и др.), сформировавших в конце палеозоя Амурскую плиту. Коллизия Евразийской и Амурской литосферных плит произошла в ранней юре, однако геодинамические процессы в возникшей сутурной зоне ещё некоторое время были обусловлены релаксацией напряжений, приведшей к появлению грабенообразных впадин [1, 7].

Между Монголо-Охотским орогенным поясом и Алдано-Становым щитом широко распространены гранитоидные массы. Алдано-Становой щит в пределах изучаемой территории представлен Становым, Олёкминским, Тындинским кратонными террейнами и сопровождается одним из наиболее глубоких региональных гравитационных минимумов, серпообразная южная граница которых ориентирована на юг [4]. На картах трансформаций гравитационного поля, выполненных с разными радиусами осреднения, Становой мегаблок не выклинивается с глубиной, что говорит о его глубинном заложении с корнями в верхней мантии. Его литосфера относительно других мегаблоков разуплотнена в среднем на $0,1 \text{ г/см}^3$. Анализ гравитационного и магнитного полей, морфоструктур и геологических карт позволяет предположить, что морфология геофизических полей отображает структуры верхней части кристаллического фундамента с наложенными процессами мезозойской тектоно-магматической активизации. В поле вертикальных напряжений гравитационного поля мегаблок практически весь совпадает с отрицательными изолиниями, что свидетельствует о воздымании рельефа. Скорость вертикального поднятия мегаблока с олигоцена по настоящее время оценивается в $1,5 \text{ мм}$ в год [7]. Его воздымание, вероятно, связано с разуплотнением мантии, так как интенсивное разуплотнение отмечается и в пределах Могочинского, Тындинского и Олёкминского кратонных террейнов. На активность террейнов указывает и наличие очагов землетрясений, вытянутых в субширотном направлении и имеющих наибольшую интенсивность в западной части Станового террейна. Мощность земной коры и литосферы здесь достигает

максимальных для Дальневосточного региона значений $42\text{--}44$ и $120\text{--}160 \text{ км}$ соответственно (рис. 1).

Сергачинская рудоносная зона включает Березитовый золоторудный район и Уркинский рудный узел. В отличие от Березитового рудного района, изученного геологическими, геохимическими и геофизическими методами, Уркинский рудный узел только начинает изучаться. Впервые приводятся данные о его глубинном строении и металлогении. Узлы пересечений в пределах Сергачинской рудоносной зоны носят долгоживущий характер и являются благоприятной средой для внедрения гидротермальных растворов. Последующая гидротермально-метасоматическая проработка приводит к преобразованию пород в этих узлах – окварцеванию, серицитизации, хлоритизации – с формированием зон жильно-прожилкового окварцевания, вкрапленной и прожилково-вкрапленной сульфидизации, что обуславливает резкую дифференциацию геофизических полей над ними и повышает общий уровень их аномальности. Пересечения субширотными, северо-западными разломами Сергачинской рудоносной зоны выделяются в большинстве случаев понижением значений электрического сопротивления пород, напряжённости магнитного поля, повышением значений поляризационного поля φ_k (по отношению к фону) и содержаний Au во вторичных ореолах до $0,1\text{--}0,6\text{--}1,0 \text{ г/т}$ и более [2].

Вещественный состав оруденения в значительной мере определяется составом субстрата. Наиболее продуктивные золотоносные узлы пространственно сближены с реликтовыми блоками глубинных фемических масс, возможно, в домезозойский период времени принадлежащих к единому фронту [1, 2, 5]. На участках сближения развита золото-полиметаллическая (месторождение Березитовое, рудопроявления Большой Кенгурак, Колок-тикан, Золотое, Надёжное, Солонечное и др.) минерализация (см. рис. 1, а также см. рис. 5), на удалении от них – золото-кварцевая (месторождения Снежинка, рудопроявления Светлое, Глубокое) и молибден-медно-золото-порфировая (рудопроявления Беленькое, Балдыглия, Кипучи, Монголи). Кроме того, в пределах северного интервала Сергачинской рудоносной зоны обнаружены рудопроявления вольфрама (Сергеевское), молибдена (Урушинское, Кремнистое, Иличи, Весёлое, Оборонное) и лития (Восточное).

Массивные магнитные гранитоиды сопровождаются золото-серебряной минерализацией с соот-

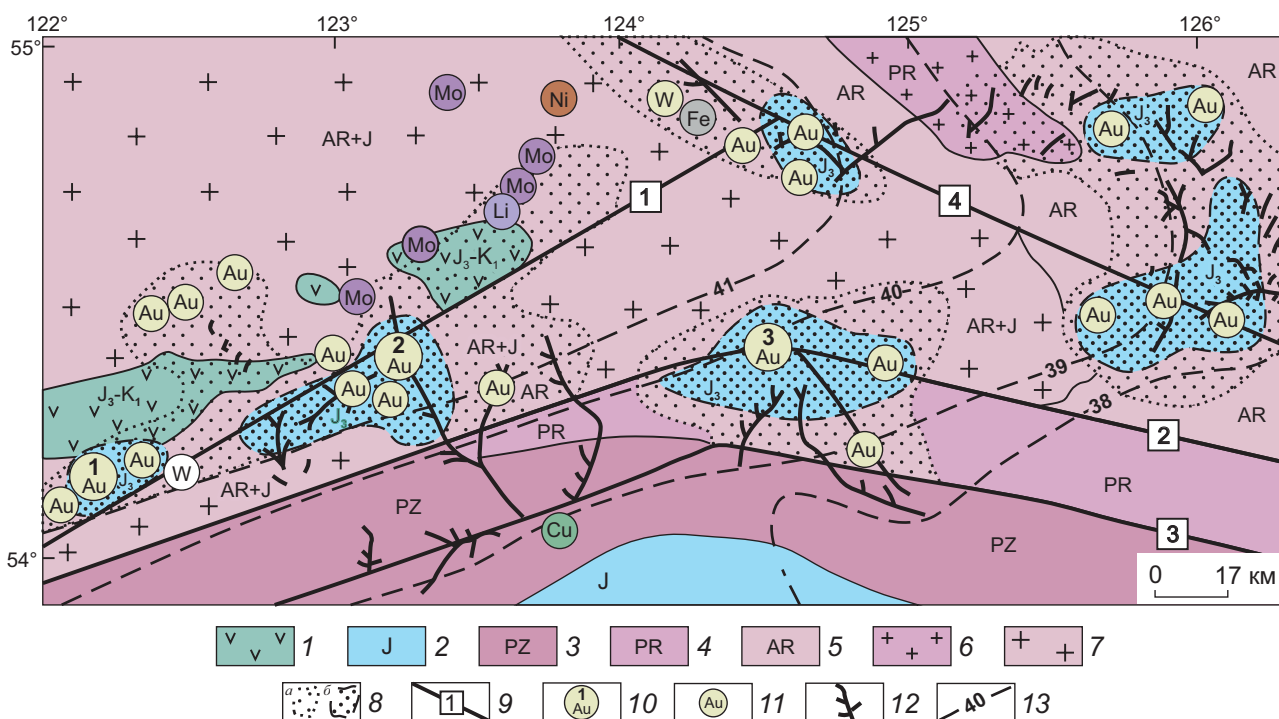


Рис. 1. ГЛУБИННОЕ СТРОЕНИЕ И МЕТАЛЛОГЕНИЯ СЕРГАЧИНСКОЙ РУДОНОСНОЙ ЗОНЫ:

1 – нерасчленённые вулканические образования, J_3-K_1 ; 2 – юрские нерасчленённые песчаники, алевролиты, глинистые сланцы, J; 3 – осадочные образования, PZ; 4 – метапесчаники, метаалевролиты, PR; 5 – биотитовые, биотит-роговообманковые гнейсы, AR; 6 – юрские и протерозойские нерасчленённые гранитоиды; 7 – биотитовые граниты и гранодиориты, AR+J; 8 – аномальные геохимические золоторудные поля с содержаниями Au 0,002–0,006 г/т (а) и 0,006–1,0 г/т и более (б); 9 – глубинные разломы (1 – Сергачинский, 2 – Северо-Тукурингрский, 3 – Южно-Тукурингрский, 4 – Желтулакский); 10 – месторождения золота (1 – Снежинка, 2 – Березитовое, 3 – Кировское); 11 – рудопроявления золота и других металлов; 12 – известные россыпи золота; 13 – изолинии мощности земной коры, км

ношением Au к Ag 1:3 [6, 7]. По данным интерпретации гравиметрического, магнитометрического полей и данных ГСЗ форма интрузивных массивов лакколитообразная; сложены они породами диорит-гранодиоритовой формации с высокой магнитной восприимчивостью и окисленностью железа.

На всём протяжении золотоносная Сергачинская зона сопровождается достаточно интенсивным линейным минимумом силы тяжести и повышенной напряжённостью магнитного поля. Выходы интрузивных гранитоидов на дневную поверхность (Аяченский, Сергачинский, Монголийский массивы) отличаются повышенными значениями ΔT и отрицательными Δg .

Исследуемый район находится севернее крупных структурных швов – Северного и Южного Тукурингрских глубинных разломов. Положение рудных полей месторождений Березитовое и Снежинка в зоне влияния региональных структурных швов

обуславливает повышенную трещиноватость пород. Исходя из анализа структурной позиции рудных полей, можно предположить, что сжимающие силы были приложены с юго-запада. По морфологии тектонически ослабленные полого залегающие рудоносные зоны месторождения Снежинка напоминают синклинали с максимальной мощностью в осевой части.

Сергачинская золоторудная зона вытянута на северо-восток на расстояние >300 км (до Желтулакской шовной зоны) при ширине 15–25 км и представлена месторождениями Снежинка, Березитовое, а также рудопроявлениями Светлое, Глубокое, Колоктикан, Кенгурак, Медвежье, Жёлтенькое и др.

Снежинское рудное поле приурочено к юго-западному флангу Сергачинской зоны разломов. Представлено золоторудным месторождением Снежинка, рудопроявлениями Светлое и Глубокое, которые расположены в зоне Малоуркинского раз-



Рис. 2. ГЕОЛОГИЧЕСКАЯ КАРТА СНЕЖИНСКОГО РУДНОГО ПОЛЯ, м-б 1:100 000:

1 – аллювиальные, делювиальные образования; 2 – светлинский субвулканический комплекс (трахириолиты, трахириодациты, гранит-порфиры, граносиенит-порфиры, $\tau\lambda T_3sv$); 3 – уктунский субвулканический комплекс (монцогаббро-порфиры, монцодиорит-порфиры, спессартиты, $\mu\delta\pi T_3uk$); 4 – уркинский комплекс (субщелочные гранит-порфиры, граносиенит-порфиры, $\gamma\pi_2 T_3u$, главная фаза – порфировидные субщелочные граниты, $\epsilon\gamma T_3u$); 5 – аячинский комплекс (порфировидные биотитовые субщелочные граниты и граносиениты, γOa); 6 – малоуркинский комплекс (биотит-роговообманковые кварцевые монцониты и монцодиориты второй фазы, $\mu_2 PZ_1 mu$, роговообманковые субщелочные габбро первой фазы, $\epsilon\nu PZ_1 mu$); 7 – разломы (a – установленные, б – предполагаемые); 8 – участки разведочных работ; 9 – профиль ВЭЗВП; 10 – золото россыпное

лома, вытянутой в северо-восточном направлении на расстояние >10 км при ширине ~1 км (рис. 2). Зона разлома фиксируется системой трещин северо-восточного (60°) направления с интенсивно проявленными вдоль них процессами окварцевания,

хлоритизации, серицитизации, пиритизации и аргиллизации. Ширина зон гидротермально изменённых пород колеблется от первых метров до 75 м. Наиболее молодыми являются разрывные нарушения северо-западного простирания (320–333°), раз-

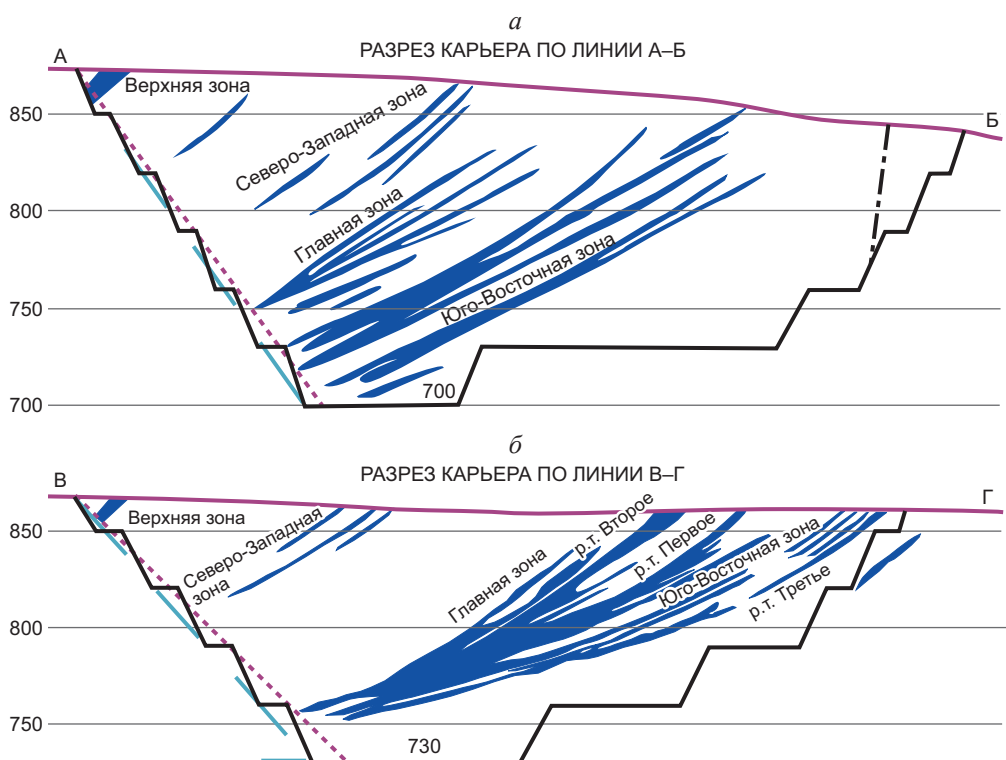


Рис. 3. MORFOЛОГИЯ РУДНЫХ ЗОН МЕСТОРОЖДЕНИЯ СНЕЖИНКА В ПРОДОЛЬНОМ (а) И ПОПЕРЕЧНОМ (б) СЕЧЕНИЯХ В КОНТУРАХ ОТРАБОТКИ ПРОЕКТНОГО КАРЬЕРА

деляющие рудное поле на ряд блоков с интенсивно выраженными вдоль них метасоматическими процессами.

Месторождение Снежинка локализуется в пределах поля гидротермально изменённых пород на площади 1000x500 м. Южная граница его не оконтурена. Внутреннее строение метасоматитов сложное из-за неравномерной гидротермально-метасоматической проработки гранитоидов – от слабо изменённых до полнопроявленных березитов. На отдельных участках метасоматиты подвержены прожилковому окварцеванию и пиритизации.

Границы вторичных ореолов рассеяния с содержанием Au >0,1 г/т практически совпадают с границами блока березитизированных гранитов и березитов, что говорит об их золотоносности. Кроме того, установлено, что вторичные ореолы с содержанием Au >0,1 г/т, как правило, отвечают рудным телам с промышленным содержанием металла. С ореолами золота пространственно совпадают вторичные ореолы с повышенными содержаниями Ag (1–15 г/т), As (4–30)·10⁻³%, Pb (0,6–3,0)·10⁻³, Cu (3–4)·10⁻³%. Наиболее высокая корреляция отмечается между Au, As, Ag в центральной части блока. Ореолы дру-

гих элементов (Cu и Zn) располагаются по периферии. Такая морфология вторичных ореолов рассеяния элементов указывает на наибольшую эродированность центральной части блока.

В ходе выполненных горно-буровых работ на месторождении Снежинка выявлены четыре золоторудные зоны: Верхняя, Северо-Западная, Главная и Юго-Восточная (рис. 3). Наибольшими мощностью (50–70 м), протяжённостью (450 м) и количеством входящих сближенных рудных тел обладает зона Главная, которая прослеживается по вторичным ореолам рассеяния золота и других элементов. По данным, полученным с помощью метода вызванной поляризации, некоторые интервалы зоны выделяются по высоким значениям φ_k (0,75–1,2°) и аномальным содержаниям золота во вторичных ореолах рассеяния (до 3–7 г/т). Контуры промышленных рудных залежей определяются по данным опробования.

Зоны имеют не крутое (вертикальное) падение, а пологое с погружением их на глубину до 150–200 м. Около 40% из них не выходят на дневную поверхность. Зоны вытянуты в северо-восточном направлении и прослежены на протяжении ~500 м.

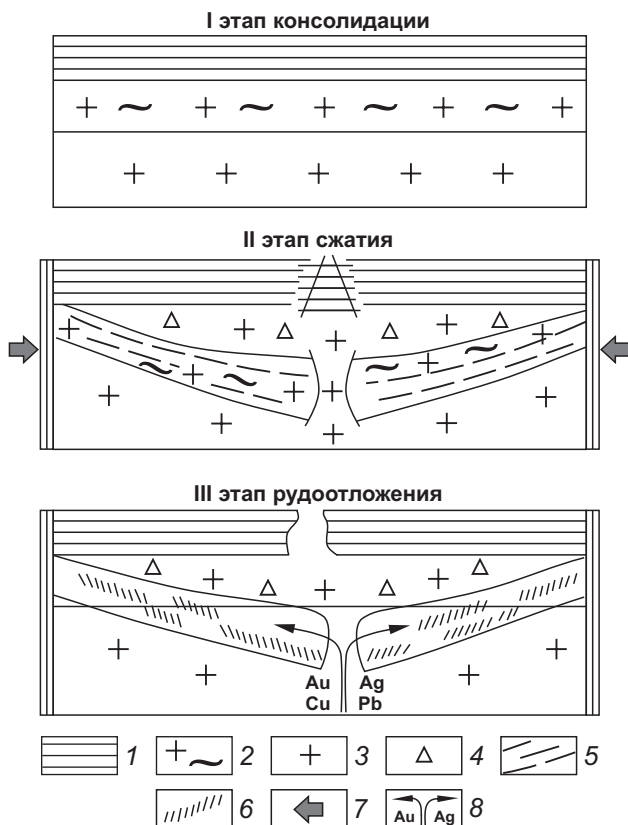


Рис. 4. ГЕОДИНАМИЧЕСКАЯ МОДЕЛЬ ОБРАЗОВАНИЯ ПОЛОГИХ ТЕКТОНИЧЕСКИ ОСЛАБЛЕННЫХ ЗОН С ЗОЛОТОРУДНОЙ МИНЕРАЛИЗАЦИЕЙ НА МЕСТОРОЖДЕНИИ СНЕЖИНКА:

1 – консолидированный жёсткий слой гранитоидов; 2 – консолидирующий слой гранитоидов; 3 – слой неконсолидированных гранитоидов; 4 – тектонические брекчи гранитоидов; 5 – образование пологих зон тектонической трещиноватости при сжатии; 6 – процесс рудоотложения золота в пологих тектонических зонах; 7 – силы сжатия; 8 – движение рудоносных растворов с минерализацией Au, Ag, Cu, Pb

Интенсивность процесса березитизации в полого падающих зонах зависит от экстенсивности трещиноватости и насыщенности дайками (спессартиты, гранит-порфиры, граносиенит-порфиры и др.). Причём чёткие границы разделения зон березитизированных пород и тел березитов с повышенным содержанием золота отсутствуют. По данным пройденных скважин зоны березитизации имеют на выходе на дневную поверхность более крутое падение (35–50°) с постепенным выполаживанием (20–25°) к центральной части полого падающих рудоносных зон (см. рис. 3). В центральных частях зон

наиболее интенсивно проявлены трещиноватость, тектонические глинки, зеркала скольжения, прокварцевание, брекчирование метасоматических пород и насыщенность их дайками. Березитизированные породы зон прослеживаются на глубину >200 м.

Повышенная трещиноватость полого залегающих зон, вероятно, возникла в ранний период времени становления интрузии, когда кровля массива была уже жёстко консолидирована, а нижняя часть ещё нет. Консолидированная кровля представляла собой экран, и развитие пологой трещиноватости происходило по типу синклинальной складки. Так как нижняя часть была менее жёсткой, чем верхняя, то тектонически ослабленные зоны прогибались в сторону подошвы массива (рис. 4).

На основании предложенной модели при поисково-оценочных работах следует ожидать наличие наиболее богатых рудных тел в осевых частях пологих тектонических зон синклинального типа и в подводящих гидротермальных каналах – золоторудных столбах. Не исключено, что рудные столбы в пределах рудного поля месторождения Снежинка представлены второстепенными и главными рудными столбами [3]. Возможно, это и определило характерную особенность наибольшего концентрирования золота в пространстве рудного поля с ячеистой структурой. В рудном поле месторождения Снежинка устанавливаются три основные ассоциации. В центральной его части и на северном фланге (рудопроявление Глубокое) развита золото-мышьяковистая ассоциация с содержанием Au 1,1–6,7 г/т, Ag 2,0–25,0 г/т, As 0,2%. На южном фланге (рудопроявление Светлое) развиты преимущественно золото-серебряная и золото-полиметаллическая ассоциации с содержанием Au 0,98–3,2 г/т и Ag до 268 г/т. Золото-серебряное отношение достигает здесь 1:94. Отмечаются высокие концентрации (%) Cu до 1,55, Zn 0,01–0,3, Pb 0,1–0,95, Bi 0,03–0,05.

На рудопоявлении Светлое по данным пройденных каналов и скважин выделены три зоны – Центральная, Южная и Северная. Наиболее изучена и перспективна зона Центральная мощностью 1–5 м с содержанием Au в рудах от 0,1 до 17,0 г/т. Протяжённость её по данным пройденных каналов и скважин составляет >500 м. Морфология зон Южная и Северная аналогична зоне Центральная. Она также пронизана многочисленными дайками спессартитов и риолитов. Перспективы рудных зон Южная и Северная по данным проведённых работ неясны.

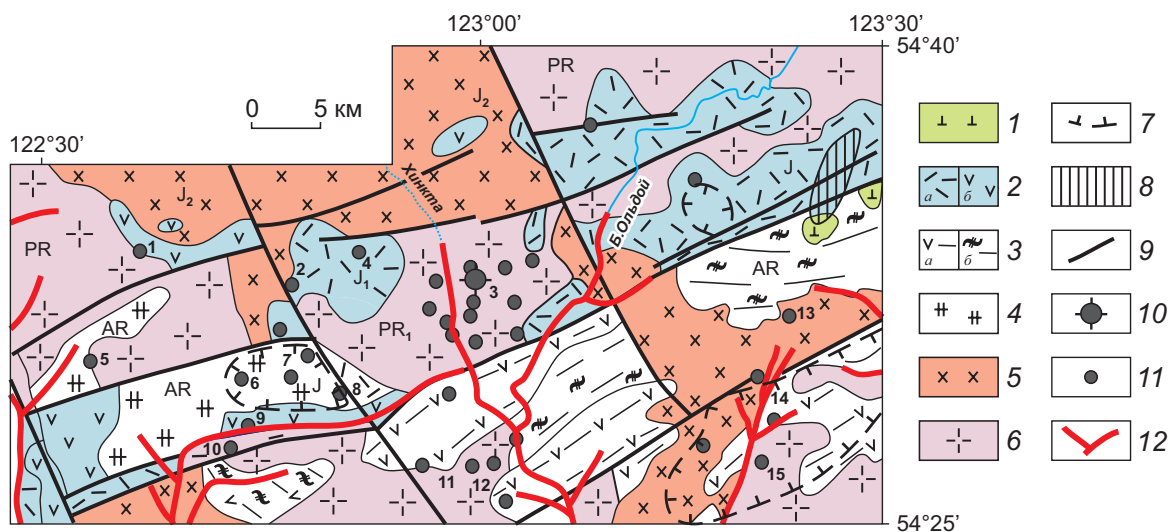


Рис. 5. ГЕОЛОГИЧЕСКАЯ КАРТА БЕРЕЗИТОВОГО ЗОЛОТОРУДНОГО РАЙОНА, м-б 1:50 000:

1 – базальты, К; 2 – липариты, их туфы, туфоконгломераты (а), лавы андезитов (б), J₁; 3 – гнейсы биотитовые (а), гранат-биотитовые и роговообманковые (б), AR; 4 – роговообманковые гнейсы и амфиболиты, AR; 5 – гранодиориты, J₂₋₃; 6 – гранитоиды, PR; 7 – участки, перспективные на выявление рудных тел порфирового типа; 8 – участки, перспективные на выявление золоторудных кварцевых тел; 9 – блокоразделяющие разломы; 10 – месторождение Березитовое; 11 – рудопоявления золота (1 – Большой Кенгурак, 2 – Веденеевское, 3 – Оргожан, 4 – Фланговый, 5 – Медвежье, 6 – Золотое, 7 – Колоктиккан, 8 – Левый Колоктиккан, 9 – Солонечное, 10 – Надёжное, 11 – Кварцевое, 12 – Жёлтенькое, 13 – Монголи, 14 – Монголи-1, 15 – Шахта Мосина); 12 – россыпи золота

Рудопоявление Глубокое мало изучено. Размер аномального ореола рассеяния золота составляет 1000x500 м. Ореолы серебра пространственно разобщены с ореолами золота и располагаются значительно южнее. В пределах рудного поля выделяются Магистральная и Геодезическая рудные зоны. В зоне Магистральная выявлены восемь мелких рудных тел, представленных серицит-кварцевыми метасоматитами с бедной сульфидной минерализацией. Наиболее перспективны два рудных тела мощностью 4 м со средним содержанием Au 3,03–9,01 г/т.

Самый крупный золоторудный объект в пределах Сергачинской рудоносной зоны – месторождение Березитовое (рис. 5), расположенное на её северо-восточном фланге. Оно сопровождается многочисленными проявлениями золота, молибдена и вольфрама, объединёнными в Березитовый рудный район (Хайктинский, Березитовый, Кенгуракский и Монголийский рудные узлы), в пределах которого с 1935 г. известно Березитовое золото-полиметаллическое месторождение [6, 7]. Рудное поле месторождения находится в надынтрузивной зоне Хайктинского массива гранитоидов амуджиканского

комплекса и приурочено к пересечению мощной северо-восточной зоны милонитизации и катаклаза Сергачинской зоной разломов.

На западе Березитового рудного района выделяется Кенгуракский рудный узел с проявлениями Золотое, Веденеевское, Колоктиккан, Солонечное, Медвежье и др. золото-сульфидно-кварцевой и золото-кварцевой формаций.

К Хайктинскому рудному узлу (верховья рек Большой Кенгурак, Хайкта) приурочены рудопоявления золота и серебра Чапка, Ян, Полюс Северный и Южный. Наиболее изучено рудопоявление Полюс Южный, представленное многочисленными достаточно мощными (0,5–4,2 м) кварцевыми жилами с золото-вольфрамовой минерализацией с баритом и флюоритом, залегающими в гидротермально изменённых гранодиоритах повышенной основности.

Монголийский рудный узел включает 15 рудопоявлений преимущественно молибденовой, медной и золотой минерализации. Все рудопоявления залегают в архейской пластине биотит-роговообманковых гнейсов, амфиболитов с прослоями биотит-гранат-роговообманковых гнейсов, прор-

ванных серий дайковых тел северо-восточного простирания, представленных гранит-порфирами, микродиабазами, спессартитами юрского возраста. Совместное нахождение в метасоматически изменённых породах (окварцевание, серицитизация, альбитизация, хлоритизация) золоторудной, молибденовой и медной минерализации позволяет предполагать порфировый тип руд, который характеризуются невысоким содержанием золота, меди и молибдена, но большими их объёмами.

Таким образом, наращивание запасов золота на юго-западе Сергачинской зоны возможно за счёт доизучения на месторождении Снежинка зон Главная, Верхняя, Северо-Восточная, выявления золо-

торудных столбов в центральной части месторождения и продолжения разведочных работ на его южном фланге и на рудопроявлениях Глубокое и Светлое.

На северо-востоке Сергачинской золоторудной зоны наибольшие перспективы по увеличению запасов связаны с изучением и разведкой объектов Кенгуракского рудного узла, линейных зон в рудопроявлениях Большой Кенгурак, Северное и штокверковых зон в рудопроявлениях Золотое, Колок-тикан, Веденеевское. В пределах Монголийского рудного узла наибольший интерес заслуживают поиски молибден-медно-золоторудных месторождений порфирового типа.

СПИСОК ЛИТЕРАТУРЫ

1. *Васильев И.А., Старк А.Г., Степанов В.А.* Золотая минерализация Сергачинской металлогенической зоны (Верхнее Приамурье) // Генетические типы и закономерности размещения месторождений золота Дальнего Востока. Новосибирск, 1978. С. 98–104.
2. *Вьюнов Д.Л., Степанов В.А.* Геохимические поля Верхнего Приамурья // Тихоокеанская геология. 2004. № 5. С. 116–124.
3. *Константинов М.М.* Рудные столбы золоторудных месторождений // Руды и металлы. 2013. № 4. С. 9–17.
4. *Копылов М.И.* Эволюция гранитоидного состава и рудной минерализации на примере Дальневосточного региона // Граниты и эволюция Земли. Улан-Удэ, 2008. С. 187–190.
5. *Михайлов Б.К., Иванов А.И., Вартанян С.С., Беневольский Б.И.* Проблемы минерально-серьевой базы золота // Руды и металлы. 2015. № 1. С. 97–99.
6. *Моисеенко В.Г., Эйриш Л.В.* Золоторудные месторождения Востока России. – Владивосток: Дальнаука, 1996. С. 36–75.
7. *Старк А.Г.* Геология и металлогения Сергачинской структурно-формационной зоны (Верхнее Приамурье). – Владивосток: ДВНЦ АН СССР, 1976.

SERGACHINSKAYA GOLD ZONE AND PROSPECTS FOR NEW GOLD DEPOSIT IDENTIFICATION

M.I.Kopylov, L.L.Petukhova
(Yu.A.Kosygin Institute of Tectonics and Geophysics FEB RAS, Khabarovsk)

Materials of large-scale (1:50 000–1:5000) geological and geophysical studies performed by JSC Dalgeophysics and other companies (1975–2017) within Sergachinskaya gold zone as well as its Urkinsky ore cluster and Berezitovy ore district are presented. Based on them, prospects for new ore occurrences and, potentially, deposits identification in this district are determined. Recommendations on further prospecting and exploration are given.

Keywords: Sergachinskaya gold zone, Urkinsky ore cluster, Berezitovoye, Snezhinka, gold deposits.

